

Flusso di Poiseuille

Il flusso di Poiseuille è un moto di fluido in una regione che è delimitata da dei boundary fissi, fermi, e il moto è causato da un gradienti di pressione. Vediamo un esempio di esempio.

Geometria piana

Ipotizziamo un fluido incompressibile tra due piani infinitamente estesi e paralleli al piano xy ($z=\phi$), rispettivamente in $z=\phi$ e $z=h$. I piani sono fermi. Viene imposto un gradiente di pressione in direzione \hat{x} : $\frac{\partial p}{\partial x} = -\frac{\Delta p}{l}$ (con l la lunghezza caratteristica).

Il problema presenta dunque un'inviaanza in y e anche in x (visto che $\frac{\partial p}{\partial x}$ è imposto costante lungo \hat{x}); cerciamo una soluzione stazionaria per \bar{J} che abbia le stesse proprietà di simmetria*, ovvero

$$\bar{J} = v_x(z)\hat{x} \quad \text{che rispetti anche l'incompressibilità: } \operatorname{div} \bar{J} = 0$$

La richiesta $\operatorname{div}(\bar{J}) = 0$ è automaticamente soddisfatta dalla forma ipotizzata per \bar{J} .

Riabbiamo il problema usando l'eq. di Navier-Stokes

$$\frac{D\bar{J}}{Dt} = \nu \nabla^2 \bar{J} - \frac{1}{\rho} \operatorname{grad} p + \bar{g} \quad (\bar{g} = g\hat{z} \text{ gravità})$$

$$+ \text{le b.c. } v_x(z=\phi) = 0$$

(no-slip condition, nessuna vel. tangenziale alla sup. di limite)

$$v_x(z=h) = 0$$

La componente lungo \hat{x} di N.-S. è

$$\frac{Dv_x}{Dt} = \frac{\partial v_x}{\partial t} + \left(v_x \frac{\partial}{\partial x} + v_y \frac{\partial}{\partial y} + v_z \frac{\partial}{\partial z} \right) v_x = 0 = \nu \frac{d^2 v_x}{dz^2} - \frac{1}{\rho} \frac{\partial p}{\partial x}$$

per soluzione stazionaria

$$\Rightarrow \frac{d^2 v_x}{dz^2} = \frac{1}{\eta} \frac{\partial p}{\partial x} = -\frac{1}{\eta} \frac{\Delta p}{l}$$

$$\sim \frac{dv_x}{dz} = -\frac{\Delta p}{\eta l} z + C_1 \sim v_x(z) = -\frac{\Delta p}{\eta l} z^2 + C_1 z + C_2$$

e si impongono le b.c.:

* = ricordiamo che è una scelta; la soluzione non è unica, e si potrebbero trovare soluzioni turbolente che non rispettano affatto alcuna simmetria né sono stazionarie

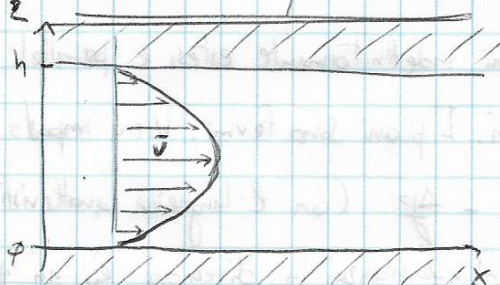
$$J_x(\phi) = C_2 = \phi \Rightarrow C_2 = \phi$$

$$v_x(z) = -\frac{\Delta p}{2\rho l} h^2 + C_1 h = \phi$$

$$\Rightarrow v_x(z) = \frac{\Delta p}{2\rho l} (h^2 - z^2)$$

$$C_1 = \frac{\Delta p}{2\rho l} h$$

$$\left(= \frac{\Delta p}{2\rho l} h^2 (\tilde{z} - \tilde{z}^2) \text{ on } \tilde{z} = z/h \text{ quota normalizzata} \right)$$



Note:

$$\textcircled{1} \quad \text{rot } \vec{v} = \left(\frac{\partial v_z}{\partial y} - \frac{\partial v_y}{\partial z} \right) \hat{e}_x + \left(\frac{\partial v_x}{\partial z} - \frac{\partial v_z}{\partial x} \right) \hat{e}_y + \left(\frac{\partial v_y}{\partial x} - \frac{\partial v_x}{\partial y} \right) \hat{e}_z$$

$$= \frac{\partial v_x}{\partial z} \hat{e}_y = \frac{\Delta p}{2\rho l} (h - 2z) \neq \phi$$

$\text{rot } \vec{v} \neq \phi$: anche se il campo di velocità è lungo x , tutti vettori paralleli, e \Rightarrow non ci sono gorghi, c'è rotazione non nulla. Lo si visualizza facilmente se si poggia un bastoncino sulla superficie di un fiume: oltre a essere trascinato con la corrente (vel. media), esso ruota su se stesso.

$\textcircled{2}$ La velocità massima è chiaramente al centro; la velocità media (con cui si può calcolare la portata moltiplicando per ρ e la sezione trasversale) è

$$\tilde{v}_x = \frac{1}{h} \int_{\phi}^h v_x(z) dz = \frac{1}{h} \frac{\Delta p}{2\rho l} \left[\frac{h^2}{2} - \frac{z^3}{3} \right]_{\phi}^h = \frac{1}{h} \frac{\Delta p}{2\rho l} \frac{3h^3 - 2h^3}{6} = \frac{\Delta p h^2}{12 \rho l}$$

$\textcircled{3}$ Il tensore degli sforzi $\sigma_{ij} = \eta (\delta_{ij} + \Omega_i v_j) - p \delta_{ij}$ si può calcolare esplicitamente:

$$\sigma_{xx} = \sigma_{yy} = \sigma_{zz} = -p$$

$$\sigma_{xy} = \sigma_{yz} = \phi \quad ; \text{ invece } \sigma_{zx} = \sigma_{xz} = \eta \frac{\partial v_x}{\partial z} = \frac{\Delta p}{2l} (h - 2z) \neq \phi$$

e si può calcolare questo sforzo tangenziale (di attrito) sulle pareti fisse; per esempio su

$$\text{quella sotto stante } \sigma_{zx} \approx \eta \left. \frac{\partial v_x}{\partial z} \right|_{z=0} = \frac{h \Delta p}{2l} \quad ; \text{ sulla soprastante } \sigma_{zx} = -\eta \left. \frac{\partial v_x}{\partial z} \right|_{z=h} = -\frac{h \Delta p}{2l}$$

(sforzo su faccia or. normale, diretto lungo x)

(considerando normale lungo $-e_2$)

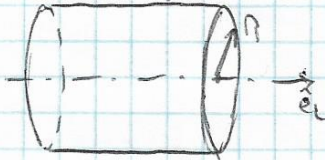
$\textcircled{4}$ La componente lungo e_2 di N-S. $\frac{Dv_x}{Dt} \approx \phi = v \frac{\partial^2 v_x}{\partial z^2} - \frac{1}{\rho} \frac{\partial p}{\partial z} - g$

$$\sim \frac{\partial p}{\partial z} = -pg \quad \sim \underline{p + pgz = \text{costante}} \quad \text{si notisce alla legge di Stevino}$$

(l'invarianza in y invece equivale a $v_y = \phi$ o comunque abbia una forma, non interessante)

Geometria cilindrica - flusso in costantura

Consideriamo un flusso visoso, incompressibile e stazionario lungo l'asse di un tubo di raggio R , dato da gradiente longitudinale di pressione $\frac{\partial p}{\partial z} = -\frac{\Delta p}{l}$ costante. Valgono le stesse considerazioni di simmetria del problema già esposte per il caso piano; qui si vede un'invarianza per rotazioni e per traslazioni lungo z , \Rightarrow



cerchiamo una soluzione stazionaria del tipo

$$\vec{v} = v_z(r) \hat{e}_z \quad \text{la quale gi\'a verifica il requisito di incompressibilit\~o} \ \operatorname{div} \vec{v} = 0.$$

L'eq. di N.-S. va complementata dalla b.c. sulla parete del tubo: $v_x(R) = 0$.

$$\text{Poich\'e} \ \frac{\partial v_z}{\partial t} = \frac{\partial v_z}{\partial t} + (\vec{v} \cdot \operatorname{grad}) v_z = v_x \frac{\partial v_z}{\partial r} + \frac{v_z}{r} \frac{\partial v_z}{\partial \theta} + \frac{\partial v_z}{\partial z} = 0,$$

la componente z dell'eq. di N.-S. si riduce a

$$\nabla^2 v_z - \frac{1}{r} \frac{\partial p}{\partial z} = 0 \quad \sim \quad \nabla^2 v_z = -\frac{\Delta p}{\eta l}$$

Explicitamente in coordinate cilindriche

$$\begin{aligned} \nabla^2 v_z &= \frac{1}{r} \frac{\partial}{\partial r} \left(r \frac{\partial v_z}{\partial r} \right) + \frac{1}{r^2} \frac{\partial^2 v_z}{\partial \theta^2} + \frac{\partial^2 v_z}{\partial z^2} = \frac{1}{r} \frac{d}{dr} \left(r \frac{dv_z}{dr} \right) = -\frac{\Delta p}{\eta l} \\ \Rightarrow \frac{d}{dr} \left(r \frac{dv_z}{dr} \right) &= -\frac{\Delta p}{\eta l} r \quad \Rightarrow r \frac{dv_z}{dr} = -\frac{\Delta p}{\eta l} r^2 + C_1 \quad \Rightarrow \frac{dv_z}{dr} = -\frac{\Delta p}{\eta l} r + \frac{C_1}{r} \end{aligned}$$

$$\text{e infine } v_z(r) = -\frac{\Delta p}{\eta l} r^2 + C_1 \ln r + C_2$$

Per finitza di v_z in $r \approx 0$ e' necessario che sia $C_1 = 0$, la b.c. $v_z(R) = 0$ impone che

$$v_z(R) = -\frac{\Delta p}{\eta l} R^2 + C_2 = 0 \Rightarrow C_2 = \frac{\Delta p}{\eta l} R^2$$

$$\Rightarrow v_z(r) = \frac{\Delta p}{\eta l} (R^2 - r^2) \quad \left(= \frac{\Delta p R^2}{\eta l} (1 - \tilde{r}^2) \quad \text{con} \quad \tilde{r} = r/R \quad \text{raggio normalizzato} \right)$$

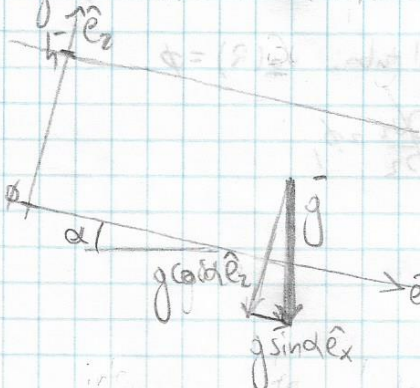
$$\text{di nuovo profilo parabolico di velocit\~a con massimo al centro e} \ \bar{v}_z \ \text{data da} \\ \bar{v}_z = \frac{1}{\pi R^2} \int_{-R}^R v_z(r) \pi r dr = \frac{\Delta p}{\eta l R^2} \int_{-R}^R (R^2 - r^2) dr = \frac{\Delta p}{\eta l R^2} \left(\frac{R^4}{2} - \frac{R^4}{4} \right) = \frac{\Delta p R^2}{8 \eta l} \quad \text{e portata} \\ m = \rho \bar{v}_z R^2 \bar{v}_z$$

$$\text{Lo sforzo tangenziale sulla parete} \ \sigma_{rz} = -\eta \left(\frac{\partial v_z}{\partial r} + \frac{\partial v_r}{\partial z} \right) \Big|_{r=R} = -\eta \frac{\partial v_z}{\partial r} \Big|_{r=R} = \frac{\Delta p R}{\eta l}$$

(considerando la normale lungo $-\hat{e}_r$)

Fluido lungo un piano inclinato

In questo caso si ha uno strato di fluido reale di altezza h ; come sempre, si tratta di un flusso incompressibile in regime stazionario. Il fluido scorre lungo un piano inclinato di un angolo α rispetto all'orizzontale - e dunque il "motore" è una componente della gravità lungo il piano inclinato. Consideriamo \hat{e}_x con \hat{e}_z lungo il piano inclinato; \hat{e}_z nella direzione dello spessore dello strato, e ipotizziamo ragionevolmente ancora una volta una soluzione invariante in x e z del tipo



$$\bar{J} = V_x(z) \hat{e}_x$$

corretta dalle sue b.c.:

$$\textcircled{1} \text{ in } z=0 \text{ (fondo solido)} \quad V_x(0) = \phi$$

$$\textcircled{2} \text{ in } z=h \text{ abbiamo un fondo libero (il fluido soprastante è aria, di densità trascurabile): la pressione sarà quella atmosferica } p_0 \text{ ovvero per continuità dello strato normale}$$

$\sigma_{zz} = -p = -p_0$

mentre non ci deve essere effetto ovvero forza di taglio

$$\sigma_{zx} = \gamma \frac{\partial V_x}{\partial z} \Big|_{z=h} = \phi$$

\textcircled{3} La componente lungo \hat{e}_z dell'eq. di Navier-Stokes è

$$\frac{D V_z}{D t} = -\frac{\partial p}{\rho \partial z} + \nu \frac{\partial^2 V_z}{\partial z^2} - g \cos \alpha \sim p(z) = -\rho g \cos \alpha z + C ;$$

ϕ per le $V_z = p$ con la b.c. $p(h) = -\rho g \cos \alpha h + C = p_0$

$$p(z) = p_0 + \rho g \cos \alpha (h-z)$$

\textcircled{4} La componente lungo \hat{e}_x di N.-S. è

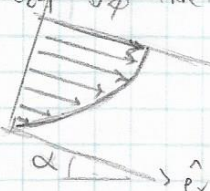
$$\frac{D V_x}{D t} = -\frac{\partial p}{\rho \partial x} + \nu \frac{\partial^2 V_x}{\partial z^2} + g \sin \alpha \sim \nu \frac{\partial^2 V_x}{\partial z^2} = -g \sin \alpha \sim V_x(z) = +g \sin \alpha z^2 + D_1 z + D_2$$

\hat{e}_z ϕ nelle tutte le derivate

$$\text{con b.c. } V_x(0) = D_2 = \phi ; \quad \frac{\partial V_x}{\partial z} \Big|_{z=0} = -g \sin \alpha h + D_1 = \phi$$

$$\Rightarrow V_x(z) = \frac{g \sin \alpha}{2\nu} (2hz - z^2)$$

$$\sigma_{zx} = \gamma \frac{\partial V_x}{\partial z} \Big|_{z=h} = g \sin \alpha h / \nu \text{ sul fondo}$$



Flusso di Couette

Nel flusso di Couette, il moto del fluido è causato non da un gradiente di pressione applicato (come per il flusso di Poiseuille), bensì dal moto relativo delle pareti che delimitano il flusso.

Geometria piana

Ippotizziamo un flusso incomprensibile tra due piani infinitamente estesi $z=\phi$ e $z=h$. Le condizioni al contorno sono parete inferiore ferma e parete superiore con velocità costante $\bar{v} = u \hat{e}_x$. Ancora una volta cerchiamo una soluzione stazionaria e che rispecchi le simmetrie del sistema (invariante per traslazioni in x e y): $\bar{v} = v_x(z) \hat{e}_x$ (che soddisfa peraltro l'incomprensibilità, $\operatorname{div}(\bar{v}) = 0$).

Usando questa forma nella componente x dell'eq. di Navier-Stokes si ha

$$\frac{Dv_x}{Dt} = \rho \nabla^2 v_x - \frac{\partial p}{\partial x}$$

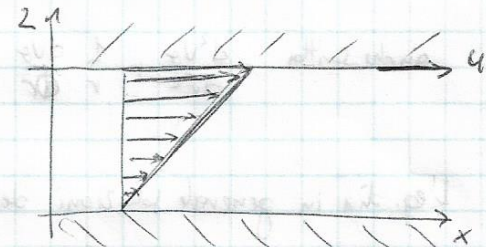
$\rightarrow \rho$, nessun gradiente di p imposto, solo varia in z per gravità (Stokes)

$$\Rightarrow \frac{d^2 v_x}{dz^2} = \rho \quad \sim \quad \frac{dv_x}{dz} = C_1 \quad \sim \quad v_x(z) = C_1 z + C_2$$

$$+ b.c. \quad v_x(z=\phi) = 0 \quad \sim \quad C_2 = 0$$

$$v_x(z=h) = u \quad \sim \quad C_1 h = u \Rightarrow C_1 = u/h$$

$$\Rightarrow v_x(z) = u \frac{z}{h} \quad \text{profilo lineare}$$



Il tensore degli sforzi $\tau_{ij} = \gamma (\partial_i v_j + \partial_j v_i) - p \delta_{ij}$ calcolato esplicitamente da

$$\underline{\underline{\tau}} = \begin{pmatrix} -p & \phi & \gamma u/h \\ \phi & -p & \phi \\ \gamma u/h & \phi & -p \end{pmatrix}$$

La vorticità è non nulla, $\operatorname{rot} \bar{v} = \frac{\partial v_x}{\partial z} = \frac{u}{h} \hat{e}_y$.

$$\frac{\tau_{12} - \tau_{21}}{\rho h} = \frac{6}{h} = \frac{6}{h}$$

Geometria cilindrica

Qui il flusso incompressibile avviene tra due cilindri coassiali di raggio R_1, R_2 e velocità angolare Ω_1, Ω_2 , nonché lunghezza l ; si cerca soluzione con le stesse invarianti del problema (in 2 e 3),

$$\Rightarrow \vec{V} = V_g(r) \hat{r} \quad (\text{per la quale } \operatorname{div}(\vec{V}) = 0).$$

La componente radiale dell'eq. di N.-S. è

$$\frac{\partial V_r}{\partial t} + [(\vec{V} \cdot \operatorname{grad}) V_r] - \frac{V_g^2}{r} = - \frac{1}{\rho} \frac{\partial p}{\partial r} + \nu \left[\frac{\partial^2 V_r}{\partial r^2} - \frac{2}{r} \frac{\partial V_r}{\partial r} - \frac{V_g}{r^2} \right]$$

(stationaria)
 $\cancel{+ V_r \frac{\partial V_r}{\partial r}} = 0$

e cioè si ottiene $\frac{V_g^2}{r} = \frac{1}{\rho} \frac{\partial p}{\partial r}$, equazione che ci dà conto del fatto che V_g^2/r è un'accelerazione centripeta, responsabile della traiettoria

La componente in θ dell'eq. di N.-S. è

$$\frac{\partial V_\theta}{\partial t} + (\vec{V} \cdot \operatorname{grad}) V_\theta + \frac{V_g V_\theta}{r} = - \frac{1}{\rho r} \frac{\partial p}{\partial \theta} + \nu \left[\frac{\partial^2 V_\theta}{\partial r^2} + \frac{2}{r^2} \frac{\partial V_\theta}{\partial r} - \frac{V_g}{r^2} \right]$$

(stationaria)
 $\cancel{+ V_\theta \frac{\partial V_\theta}{\partial r}} = 0$

e cioè si ottiene per θ -invarianza non c'è gradiente di p in θ

$$\frac{\partial^2 V_\theta}{\partial r^2} - \frac{V_g}{r^2} = \phi \quad \sim \quad \frac{1}{r} \frac{d}{dr} \left(r \frac{d V_\theta}{dr} \right) - \frac{V_g}{r^2} = \phi$$

anche scritta $\frac{d^2 V_\theta}{dr^2} + \frac{1}{r} \frac{d V_\theta}{dr} - \frac{V_g}{r^2} = \phi$ ovvero $\boxed{\frac{r^2 d^2 V_\theta}{dr^2} + r \frac{d V_\theta}{dr} - V_g = \phi}$ eq. di Gandy - Eulero

L'eq. ha in generale soluzioni del tipo r^n e sostituendo r^n in questa specifica forma si ottiene

$$n(n-1)r^{n-2} + nr^{n-1} - r^n = n(n-1)r^{n-2} + (n-1)r^{n-1} = (n+1)(n-1)r^{n-2} = (n^2-1)r^{n-2} = \phi$$

verificata $\Rightarrow n=2, 1$

da cui $V_\theta(r) = ar + \frac{b}{r}$

Si impongono dunque le b.c.: $V_\theta(R_1) = aR_1 + \frac{b}{R_1} = \Omega_1 R_1 \quad (1)$

$$V_\theta(R_2) = aR_2 + \frac{b}{R_2} = \Omega_2 R_2 \quad (2)$$

Da $R_2 \cdot (2) - R_1 \cdot (1)$ si elimina b e si ottiene $a(R_2^2 - R_1^2) = \Omega_2 R_2^2 - \Omega_1 R_1^2$

$$\Rightarrow a = \frac{\Omega_2 R_2^2 - \Omega_1 R_1^2}{R_2^2 - R_1^2}$$

Da $\textcircled{1}/R_1 - \textcircled{2}/R_2$ si elimina a e si ottiene

$$b \left(\frac{1}{R_1^2} - \frac{1}{R_2^2} \right) = \Omega_1 - \Omega_2 \Rightarrow b = \frac{(\Omega_1 - \Omega_2) R_1^2 R_2^2}{R_2^2 - R_1^2}$$

$$\Rightarrow Vg(r) = \frac{\Omega_2 R_2^2 - \Omega_1 R_1^2}{R_2^2 - R_1^2} r + \frac{(\Omega_1 - \Omega_2) R_1^2 R_2^2}{R_2^2 - R_1^2} \frac{1}{r}$$

Alla parete in R_1 e R_2 è esercitato un momento torcente (i due momenti saranno uguali e opposti, $T_1 = -T_2$). Usando il tensore degli sforzi, abbiamo

$$\sigma_{rg} \Big|_{r=R_2} \cdot R_2 = \text{momento torcente per unità di superficie esercitato dal cilindro in } R_2$$

$$= \eta \left[\frac{1}{r} \frac{\partial Vg}{\partial r} + \frac{\partial Vg}{\partial r} - \frac{Vg}{r} \right] \Big|_{r=R_2} R_2 = \text{ con } Vg = Ar + b/r$$

$$= \eta \left[a - \frac{b}{r^2} - a - \frac{b}{r^2} \right] \Big|_{r=R_2} R_2 = -2\eta \frac{b}{R_2} = -\frac{2\eta (\Omega_1 - \Omega_2) R_1^2 R_2}{R_2^2 - R_1^2}$$

e moltiplicando per $2\pi R_2$ si ottiene il momento torcente per unità di lunghezza del cilindro

$$T_2 = \frac{-4\pi\eta (\Omega_1 - \Omega_2) R_1^2 R_2^2}{R_2^2 - R_1^2} \quad (\text{positivo se } \Omega_2 > \Omega_1)$$

Un apposito costruito è strutturabile come viscosimetro: per esempio impostando $\Omega_2 \neq \phi$,

e misurando il momento torcente T_2 ($= -T_1 = T_cyl$) da applicare al cilindro interno perché

resti fermo ($\Omega_1 = \phi$) si ottiene il coefficiente di viscosità η (viscosimetro di Couette).